

## تحلیل و شبیه‌سازی عملکرد کانال ارتباطی پهپاد ارتفاع بلند چند آنتنی با در نظر گرفتن شرایط جوی

محمد رضا طریحی<sup>۱</sup>، محمد مهدی نژاد نوری<sup>۲</sup>، محمد حسین مدنی<sup>۳</sup>

۱ دانشجوی دکتری، پژوهشکده مخابرات، مجتمع دانشگاهی برق و کامپیوتر، دانشگاه صنعتی مالک اشتر، تهران، mtarihi@nri.ac.ir

۲ دانشیار، پژوهشکده مخابرات، مجتمع دانشگاهی برق و کامپیوتر، دانشگاه صنعتی مالک اشتر، تهران

تاریخ دریافت: ۱۳۹۶/۰۶/۰۷

تاریخ پذیرش: ۱۳۹۶/۱۲/۰۵

### چکیده

در این مقاله عملکرد کانال ارتباطی بین ایستگاه زمینی و یک پهپاد ارتفاع بلند چند آنتنی<sup>۱</sup>، با در نظر گرفتن شرایط جوی، تحلیل و بررسی شده است. در این سیستم با جانمایی بهینه آرایه آنتن‌های فرستنده و گیرنده، تعامل بین زیرکانال‌ها برقرار شده که نتیجه آن دستیابی به کانال مرتبه کامل و بیشینه شدن ظرفیت است. در این مقاله، با انتخاب یک مدل کانال مناسب (آماری - هندسی) و درنظر گرفتن پارامترهای پروازی پهپاد، در شرایط هوای صاف و کانال دید مستقیم، ظرفیت بهینه کانال، تحلیل ریاضی و شبیه‌سازی شده است. همچنین اثر ریزش باران، به عنوان یکی از مهمترین عوامل شرایط جوی بر کیفیت کانال و تغییرات ظرفیت کانال در پهپادهای ارتفاع بلند، با تحلیل ظرفیت قطع شبیه‌سازی شده است. در ادامه برای کانال دید غیرمستقیم، مشخصات آماری (PDF,CDF) سیگنال به نویز دریافتی و متوسط احتمال خطای سمبول برای مدولاسیون MPSK، تحلیل و شبیه‌سازی شده است. در نهایت نتایج شبیه‌سازی با حالات تحلیلی مقایسه شده تا صحت نتایج تئوری به دست آمده مشخص شود.

### واژگان کلیدی

پهپاد ارتفاع بلند با مداومت پروازی زیاد، سامانه‌های چند ورودی - چند خروجی، کانال انتشار، ظرفیت کانال

### ۱. مقدمه

پرندۀ‌های باسرنشین و پرندۀ‌های بدون سرنشین ارتفاع بلند، با مداومت پروازی بالا<sup>۱</sup> تحت عنوان سکوهای ارتفاع بلند<sup>۲</sup> استفاده می‌شود. پهپادهای HALE از نظر کلاس‌بندی جز پهپادهای راهبردی با مداومت پروازی بیش از ۲۴ ساعت و برد ۳۰۰ کیلومتر با طول حدود ۱۵ تا ۲۰ متر و عرض بال‌های ۳۰ تا ۵۰ متر هستند که در ارتفاع ۱۷ تا ۲۲ کیلومتری از سطح زمین (لایه استراتوسفر)،

استفاده از منطقه نزدیک به فضا<sup>۳</sup> برای کاربردهای مختلف نظامی و تجاری مانند کنترل و هدایت، سنجش از دور، ناوبری، مراقبت و نظارت، ابرهای محاسباتی و ذخیره‌ساز<sup>۴</sup> داده برای شبکه‌های توزیع شده مقیاس بزرگ<sup>۵</sup> مانند اینترنت اشیا<sup>۶</sup>، نسل پنجم تلفن همراه<sup>۷</sup> و شبکه‌های بی‌سیم سنسوری<sup>۷</sup> در سال‌های اخیر مورد توجه قرار گرفته است. برای این منظور از کشتی‌های هوایی، بالن،

دید مستقیم و افزایش مرتبه ماتریس کانال دید غیرمستقیم (HNLOS) خواهد بود. در ارتباط با این موضوعات، تحقیقاتی در منابع [۵] تا [۱۱] ارائه شده است. در مأخذ [۵] تعامل بین زیرکانال‌ها در کانال دیدمستقیم، آثار همبستگی بین عناصر آرایه آتن و ظرفیت کانال بررسی شده است. در [۶] با انتخاب یک مدل کانال سهبعدی، تعامل بین زیرکانال‌ها در کانال دیدمستقیم و عملکرد آن در باندهای فرکانسی L و S بررسی شده است. در مقالات [۷] و [۸] بر روی مدل کانال HAP و در مقالات [۹] و [۱۰] روی ترکیبات مختلف سامانه MIMO تحقیق و نشان داده شده است که هرچه زیرکانال‌های سیستم MIMO مستقل‌تر باشند، ظرفیت کانال افزایش خواهد یافت. در مقاله [۱۱] نیز با به کارگیری راهبرد V-MIMO<sup>۱۳</sup> در یک شبکه HAP توابع PDF برای متغیر سیگнал به نویز استخراج و با محاسبه نرخ خطای متوسط سمبول<sup>۱۴</sup> و ظرفیت کانال، میزان بهبودی آن نسبت به یک سامانه HAP-SISO<sup>۱۵</sup> نشان داده شده است. نوآوری در این مقاله به چند جهت قابل توجه است: اولاً در کانال دیدمستقیم اثر زاویه در عمود (۱۷) برای آتن‌های منصب روی پهپاد بهمنظور برقراری تعامل، بین زیرکانال‌ها در نظر گرفته شده و تغییرات ظرفیت کانال بر اثر تغییرات زوایای جهت‌گیری آتن‌ها شبیه‌سازی شده است. ثانیاً برای همین سناریو؛ یعنی کانال دید مستقیم ملاحظات مربوط به طراحی عملی و رویکردی مستقل از کارهای صورت گرفته در مقالات [۱۰-۷] بهمنظور همبستگی بین زیرکانال‌ها برای این سناریوی خاص، تحلیل و شبیه‌سازی شده است. ثالثاً برای بررسی اثر باران بر کیفیت و ظرفیت کانال، ظرفیت قطع، احتمال قطع و احتمال خطای سمبول در شرایط کانال دید غیرمستقیم محاسبه و شبیه‌سازی شده است. در این مقاله در بخش ۲ مدل سیستم و کانال بر اساس یک مدل هندسی - آماری و در بخش ۳ وضعیت کانال دید مستقیم در دو زیربخش تحلیل ظرفیت بهینه و ملاحظات طراحی، ارائه شده است و در بخش ۴ وضعیت کانال دید غیرمستقیم با زیربخش‌های تحلیل ظرفیت قطع، تحلیل احتمال قطع و تحلیل متوسط نرخ خطای سمبول و در بخش ۵ نتیجه‌گیری و تحلیل عددی ارائه شده است.

## ۲. مدل سیستم و کانال

مدل‌های مختلف کانال بر اساس گستردگی منطقه تحت پوشش، طول مسیر رادیویی بین فرستنده و گیرنده، هندسه لینک و تأخیر

پرواز می‌کنند [۳-۱]. در لایه استراتوسفر شرایط جوی مانند دما، فشار، چگالی و رطوبت هوا و همچنین سرعت وزش باد متفاوت بوده و در ملاحظات طراحی این پهپادها باید لحاظ گردد. این سکوها به دلیل هزینه کمتر نسبت به ارتباطات ماهواره‌ای و زمینی، تأخیر انتشار کمتر نسبت به ماهواره، ریسک ارتباطی کمتر به‌خاطر در دسترس بودن کانال ارتباطی، زمان استقرار کم و کیفیت کانال مناسب‌تر نسبت به ارتباطات زمینی، به عنوان پشتیبان و جایگزین ارتباطات زمینی و ماهواره‌ای در برخی از کاربردهای تجاري و نظامي در نظر گرفته شده است [۱-۴]. از سوی دیگر سامانه‌های چند ورودی - چند خروجي<sup>۱۶</sup> برای افزایش دایورسیتي و ظرفیت انتقال داده، در دهه‌های اخیر مورد توجه قرار گرفته است، لذا ترکیب HAP-MIMO قابلیت‌های مناسبی را برای سیستم‌های مخابراتی فراهم خواهد نمود. یکی از الزامات دسترسی به ظرفیت بالا در سامانه‌های چند ورودی - چند خروجي وجود محیط‌های انتشار با تعداد زیاد موانع یا پراکنده‌کننده‌ها<sup>۱۷</sup> می‌باشد. لذا عملکرد سامانه‌های چند آتنی در محیط‌های داخلی<sup>۱۸</sup> و متحرک بهتر خواهد بود؛ زیرا در چنین محیط‌هایی، عناصر ماتریس کانال MIMO ناهمبسته و مرتبه آن کامل، و در نتیجه ظرفیت کانال براساس مرتبه ماتریس افزایش خطی خواهد داشت. به هر علتی همبستگی بین عناصر ماتریس کانال افزایش یابد، به همان میزان مرتبه ماتریس کانال کمتر و در نتیجه مالتی پلکسینگ فضائي (و ظرفیت) کانال کاهش می‌یابد. بنابراین انتظار می‌رود در کانال‌های دید مستقیم با افزایش همبستگی بین زیرکانال‌ها، استفاده از MIMO کارایی چندانی به لحاظ افزایش ظرفیت نداشته باشد. لذا در راستاي مطالعات موردي در ارتباط با پهپادهای ELE و HALE و ايجاد لينك‌های پر ظرفیت برای آنها، در اين مقاله ابتدا در شرایط هواي صاف با درنظر گرفتن کانال دیدمستقیم (LOS) بين ايستگاه زمیني و پهپاد ارتفاع بلند چند آتنی نشان داده خواهد شد که با چيدمان مناسب هندسي آرایه آتن‌ها در فرستنده و گيرنده از نظر جهت‌گيری و فاصله بين آرييه‌ها، تعامل بین زيرکانال‌های سیستم MIMO برقرار خواهد شد که نتيجه آن کامل شدن مرتبه ماتریس و رسيدن به ظرفیت بيشينه خواهد بود. اما در شرایطي که هوا باراني باشد، يك کانال دید غيرمستقیم به علت برخورد سیگنال ارسالي به قطرات باران ايجاد خواهد شد که با افزایش نرخ ریزش باران، ضريب رايسيين کانال (Kr) کاهش یافته و اثر کانال دیدغیرمستقیم بيشتر می‌شود که نتيجه آن کاهش ظرفیت کانال

شامل سیگنال دیدمستقیم ( $H_{LOS}$ ) و دید غیرمستقیم ناشی از تغییرات کوتاه‌مدت از قطره‌های باران ( $H_{NLOS}^r$ ) طبق ۳ تعریف می‌شود [۱۷]. بنابراین کanal ارتباطی یک کanal فیدینگ رایسین با ضریب رایسین  $k_r$  می‌باشد که مستقیماً به شرایط محیطی (هوای بارانی و صاف) بستگی خواهد داشت.

$$H = \sqrt{\frac{K_r}{K_r + 1}} H_{LOS} + \sqrt{\frac{1}{K_r + 1}} H_{NLOS}^r \quad (3)$$

براساس رابطه ۳ دو سناریو وجود خواهد داشت. سناریوی اول، هوای صاف و کanal دیدمستقیم ( $H_{LOS}$ ) و سناریوی دوم، هوای بارانی و کanal دیدغیرمستقیم ( $H_{NLOS}$ ) خواهد بود.

### ۳. سناریوی اول - کanal دید مستقیم

با فرض اینکه در هوای صاف ضریب رایسین کanal ( $K_r$ ) به اندازه کافی بزرگ باشد، ماتریس کanal دید مستقیم و بهره کanal مطابق ۴ و ۵ تعریف می‌شود، در این حالت  $h_{ij}$  فقط تابعی از هندسه و فرکانس لینک است که از توزیع آماری خاصی تعیت نمی‌کند. در ۶، با توجه به هندسه شکل ۱ فاصله بین  $i^{th}$  آرایه خطی آتن گیرنده تا  $j^{th}$  آرایه خطی آتن گیرنده می‌باشد [۶-۵].

انتشار در مقالات [۱۵-۱۲] بررسی شده است. مدل سیستمی و کanal ارتباطی برای سناریوی MIMO-HALE-UAV با در نظر گرفتن شرایط ریزش باران بهصورت شکل ۱ نشان داده می‌شود [۱۶-۱۵]. مدل کanal یک مدل آماری - هندسی می‌باشد که پارامترهای مؤثر آن در جدول ۱ ارائه شده است. سیگنال دریافتی در گیرنده با فرض آتن‌های جهتی برابر است:

$$Y = \sqrt{G} H X + n, \quad X \in \mathbb{C}^{n_T \times 1}, \quad Y \in \mathbb{C}^{n_R \times 1}, \quad (1)$$

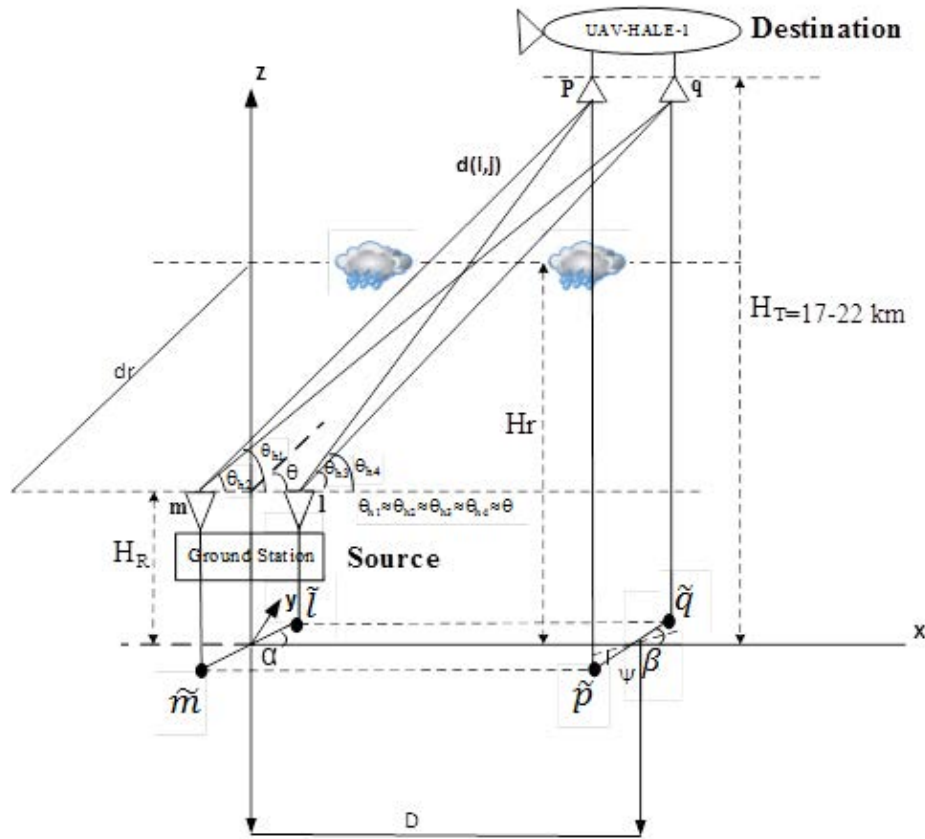
$$H = [h_{ij}] \in \mathbb{C}^{n_T \times n_R}, \quad n \in \mathbb{C}^{n_R \times 1}$$

که در آن،  $Y$ ،  $X$ ،  $n_R$  و  $n_T$  به ترتیب سیگنال دریافتی، سیگنال ارسالی، ماتریس بهره‌های مختلط کanal، تعداد آتن‌های فرستنده و گیرنده و بردار نویز می‌باشند و بهره آتن ( $G$ ) بهصورت ۲ تعریف می‌شود [۳]:

$$G = G_T(dBi) + G_R(dBi) - L_F(dB) - L_r(dB) \quad (2)$$

$$L_F(dB) = 32.4 + 20\log d(km) + 20\log f(MHz)$$

بهطوری که  $G_T$  و  $G_R$  بهره آتن‌های فرستنده و گیرنده،  $L_r$  افت فضای آزاد،  $L_F$  افت ناشی از باران،  $d$  فاصله و  $f$  فرکانس است. بردار نویز نیز شامل متغیرهای تصادفی i.i.d گوسی با متوسط صفر و واریانس  $N_0$  می‌باشد. دو مؤلفه سیگنال دریافتی



شکل ۱. مدل سامانه MIMO-HALE-UAV

جدول ۱. پارامترهای مؤثر لینک ارتباطی مطابق با هندسه شکل ۱

توضیحات	پارامتر	ردیف
تعداد آنتن در فرستنده	$n_t$	۱
تعداد آنتن در گیرنده	$n_r$	۲
زاویه در ارتفاع آنتن	$\theta$	۳
زاویه تصویر آرایه آنتن در صفحه X-Y	$\alpha$	۴
زاویه تصویر آرایه آنتن گیرنده با محور X در صفحه X-Y	$\beta$	۵
زاویه عمودی آرایه آنتن پهپاد نسبت به صفحه X-Y	$\psi$	۶
فاصله فرستنده و گیرنده روی محور X	D	۷
فاصله آمان های آنتن در فرستنده و گیرنده	$s_r, s_t$	۸
فاکتور رایسین که به شرایط محیطی بستگی دارد	$k_r$	۹
ارتفاع پهپاد، ارتفاع ایستگاه زمینی و ارتفاع مؤثر باران	$H_R, H_r, H_T$	۱۰
فاصله فرستنده تا گیرنده (فاصله در عمق)	d	۱۱

$$d(p,l) = r - 0.5s_r \cos\beta \cos\psi + \frac{(0.5s_r \sin\beta \cos\psi)^2}{2r} \quad (12)$$

$$\begin{aligned} d(q,l) &= r - 0.5s_r \cos\beta \cos\psi + 0.5s_t \cos\alpha \\ &+ \frac{(0.5s_r \sin\beta \cos\psi - 0.5s_t \sin\alpha)^2}{2(r - 0.5s_r \cos\beta \cos\psi + 0.5s_t \cos\alpha)} \xrightarrow{r \gg s_t, s_r} \\ d(q,l) &= r - 0.5s_r \cos\beta \cos\psi + 0.5s_t \cos\alpha \\ &+ \frac{(0.5s_r \sin\beta \cos\psi - 0.5s_t \sin\alpha)^2}{2r} \end{aligned} \quad (13)$$

شرط تعامد زیر کانال ها در ماتریس H به صورت زیر تعریف می شود:

$$\begin{aligned} < h_i \cdot h_j >_{i \neq j} &= 0 \\ < h_i \cdot h_j >_{j \neq i} &= \sum_{i=1}^{n_t} e^{j2\pi[d(i,m)-d(j,n)]/\lambda} \\ &= 0 \quad . \quad \forall m, n \\ &\in \{1, 2, \dots, n_r\} \end{aligned} \quad (14)$$

بر اساس ۱۴ داریم:

$$\begin{aligned} \frac{2\pi[d(p,m)-d(q,m)-d(p,l)+d(q,l)]}{\lambda} &= (2k+1)\pi \rightarrow \\ d(p,m) - d(q,m) - d(p,l) + d(q,l) &= (2k+1)\frac{\lambda}{2} \end{aligned} \quad (15)$$

با جایگذاری روابط ۷، ۱۱ و ۱۳ در ۱۵ به دست می آید:

$$\begin{aligned} \frac{s_t s_r \sin\alpha \sin\beta \cos\psi}{2r} &= (2k+1)\frac{\lambda}{2} \rightarrow s_t s_r \\ &= (2k+1) \frac{\lambda H_T}{\sin\theta \sin\alpha \sin\beta \cos\psi} \cdot \{\alpha, \beta, \theta\} \neq 0, \psi \quad (16) \\ &\neq \frac{\pi}{2} \end{aligned}$$

در رابطه ۱۶ شرط تعامد بین زیر کانال ها در سناریوی اول با در نظر گرفتن زوایای جهت گیری آنتن های ایستگاه زمینی و پهپاد

$$H_{LOS} = \begin{bmatrix} h_{11,LOS} & h_{12,LOS} & \cdots & h_{1n_T,LOS} \\ h_{21,LOS} & \ddots & \ddots & \vdots \\ \vdots & & & \vdots \\ h_{n_R 1,LOS} & \cdots & \cdots & h_{n_R n_T,LOS} \end{bmatrix} \quad (4)$$

$$h_{ij,LOS} = e^{-j2\pi d(i,j)/\lambda} \quad (5)$$

که برای  $n_r = 2$  و  $n_t = 2$  می توان ماتریس کانال را به صورت ۶ نوشت:

$$H_{LOS} = \begin{bmatrix} e^{-j2\pi d(p,m)/\lambda} & e^{-j2\pi d(p,l)/\lambda} \\ e^{-j2\pi d(q,m)/\lambda} & e^{-j2\pi d(q,l)/\lambda} \end{bmatrix} \quad (6)$$

براساس هندسه شکل ۱ و با فرض لینک پایین به بالا (ایستگاه زمینی به پهپاد) و  $H_T \gg H_R, H_r$  مقادیر  $d(p,l), d(p,m), d(q,l)$  و  $d(q,m)$  به صورت روابط ۷ تا ۱۰ قابل محاسبه خواهد بود:

$$d(p,m) = r \approx \frac{H_T}{\sin\theta} \quad (7)$$

$$d(q,m) = [(r + 0.5s_t \cos\alpha)^2 + (0.5s_t \sin\alpha)^2]^{1/2} \quad (8)$$

$$d(p,l) = [(r - 0.5s_r \cos\beta \cos\psi)^2 + (0.5s_r \sin\beta \cos\psi)^2]^{1/2} \quad (9)$$

$$d(q,l) = [(r - 0.5s_r \cos\beta \cos\psi + 0.5s_t \cos\alpha)^2 + (0.5s_r \sin\beta \cos\psi - 0.5s_t \sin\alpha)^2]^{1/2} \quad (10)$$

روابط ۸ تا ۱۰ با استفاده از بسط دو جمله ای تیلور ساده

می شوند [۱۸]:

$$\begin{aligned} d(q,m) &= r + 0.5s_t \cos\alpha \\ &+ \frac{(0.5s_t \sin\alpha)^2}{2(r + 0.5s_t \cos\alpha)} \\ &\xrightarrow{r \gg s_t} d(q,m) \\ &= r + 0.5s_t \cos\alpha \\ &+ \frac{(0.5s_t \sin\alpha)^2}{2r} \end{aligned} \quad (11)$$

در رابطه ۱۸ ظرفیت زمانی بیشترین مقدار را دارد که  $\text{Re}\{e^{-j2\pi(-d(p.m)+d(q.m)-d(q.l))/\lambda}\}$  کمترین مقدار را داشته باشد، بنابراین باید:

$$\begin{aligned} & | -d(p.m) + d(q.m) + d(p.l) - d(q.l) | \\ & = (2k+1) \frac{\lambda}{2} \cdot k = 0.1.2.3 \dots \end{aligned} \quad (21)$$

رابطه ۲۱ دقیقاً معادل ۱۵ است که به نوعی دیگر تعامل بین زیرکانال‌ها و بیشینه شدن ظرفیت را نشان داده است؛ بنابراین بیشینه ظرفیت طبق ۱۸ برابر خواهد شد با:

$$\begin{aligned} C_{\max} &= \log_2[1 + 4\gamma + \gamma^2(2 - 2 \times (-1))] \\ &= 2\log_2(1 + 2\gamma) \end{aligned} \quad (22)$$

به همین ترتیب، می‌توان گفت که ظرفیت زمانی کمینه است که  $\text{Re}\{e^{-j2\pi(-d(p.m)+d(q.m)-d(q.l))/\lambda}\}$  بیشترین مقدار را دارد، بنابراین:

$$\begin{aligned} & | -d(p.m) + d(q.m) + d(p.l) - d(q.l) | \\ & = 2k \frac{\lambda}{2} \cdot k = 0.1.2.3 \dots \end{aligned} \quad (23)$$

$$\begin{aligned} C_{\min} &= \log_2[1 + 4\gamma + \gamma^2(2 - 2 \times (+1))] \\ &= \log_2(1 + 4\gamma) \end{aligned} \quad (24)$$

مرتبه ماتریس کانال H در ۲۲ کامل<sup>۱۶</sup> و در ۲۴ یک<sup>۱۷</sup> خواهد بود. در شکل ۲ ظرفیت ارگودیک در این سناریو برای حالت‌های بیشینه و کمینه به ازای مقادیر مختلف SNR شبیه‌سازی شده است و نتایج تئوری به کمک شبیه‌سازی راستی آزمایی شده است. همچنین در شکل ۳ ظرفیت در این سناریو با ظرفیت کانال رایلی و ظرفیت کانال تک ورودی - تک خروجی (SISO) مقایسه شده است و نشان داده شده که ظرفیت بیشینه در حالت کامل بودن مرتبه ماتریس کانال، ظرفیت بیشینه و بهینه می‌باشد که به شرط تعامل بین زیرکانال‌ها به دست خواهد آمد.

### ۳-۲. ملاحظات طراحی در سناریوی اول

رابطه ۱۶ یک کلید طراحی محسوب می‌شود؛ زیرا فواصل آرایه‌های آتن‌های فرستنده و گیرنده را می‌توان بر اساس هندسه مدل سیستمی به‌گونه‌ای انتخاب نمود که زیرکانال‌های سیستم MIMO متعامد و مرتبه کانال H کامل شود. اما برای طراحی عملی این موضوع باید ملاحظاتی را نظر گرفت:

اولاً حداکثر برد پهپاد که به ازای آن تعامل بین زیرکانال‌ها حفظ شود، محدود خواهد بود. این موضوع در شکل ۴ شبیه‌سازی شده است. بر اساس این شکل مشاهده می‌شود که برای پوشش برد زیاد باید از فرکانس‌های بالا (GHz > ۲۰) در سامانه MIMO-HALE-UAV استفاده نمود؛ یعنی برای داشتن برد زیاد در فرکانس‌های کم و برقراری شرط تعامل زیرکانال‌ها، فاصله  $S_{\text{r}}S_{\text{t}}$  بسیار زیاد خواهد شد و عملاً

( $\alpha, \beta, \theta$  و  $\gamma$ )، طول موج ( $\lambda$ ) و ارتفاع پهپاد ( $H_T$ ) به دست آمده است. این رابطه در مقایسه با مطالعات انجام‌شده در مقاله [۶] اثر تغییرات زاویه در عمود آتن پهپاد (زاویه  $\gamma$ ) را نیز در نظر می‌گیرد که در ادامه نشان داده خواهد شد. این زوایا در تغییرات شرایط کانال و ظرفیت آن تأثیرگذار خواهند بود.

### ۳-۱. تحلیل ظرفیت بهینه در سناریوی اول

ظرفیت کانال یک معیار عملکرد مناسب برای ارتباطات بی‌سیم می‌باشد که به دو صورت ظرفیت ارگودیک و ظرفیت قطع قابل تعریف می‌باشد. ظرفیت ارگودیک متوسط نرخ ارسال کانال در زمان‌های مختلف و ظرفیت قطع برای موقعی که ظرفیت ارگودیک در دسترس نباشد، تعریف می‌شود. ظرفیت قطع به این مفهوم است که اگر فرستنده با یک نرخ مثبت در حال ارسال باشد ( $R > 0$ ) زمان‌هایی وجود خواهد داشت که نرخ ارسال بیشتر از ظرفیت کانال شده و کانال قطع می‌شود که احتمال این رخداد را احتمال قطع می‌گویند. ظرفیت یک سیستم MIMO برای حالتی که اطلاعات کانال برای فرستنده معلوم نیست (no-CSI<sup>۱۴</sup>) (معمولًاً کانال‌های عملی به این صورت است) به صورت ۱۷ بیان می‌شود [۱۱]:

$$\begin{aligned} C_{\text{erg}} &= W \sum_{i=1}^r \log_2 \left( 1 + \frac{\lambda_i P_T}{n_T \sigma^2} \right) \\ &= W \log_2 \prod_{i=1}^r \left( 1 + \frac{\lambda_i P_T}{n_T \sigma^2} \right) \\ &= W \log_2 \left| I_{n_R} + \frac{P_T}{n_T \sigma^2} HH^H \right| \end{aligned} \quad (17)$$

به‌طوری که  $W$  پهنه‌ای باند زیرکانال‌ها،  $n_R$  مقادیر ویژه و  $r$  مرتبه ماتریس  $HH^H$  تعریف می‌شوند. با جایگذاری ۶ در ۱۷ داریم:

$$\begin{aligned} C &= \log_2[1 + 4\gamma \\ &- \gamma^2(2 + e^{-j2\pi(-d(p.m)+d(q.m)+d(p.l)-d(q.l))/\lambda}} \\ &+ e^{-j2\pi(d(p.m)-d(q.m)-d(p.l)+d(q.l))/\lambda})] \\ &= \log_2[1 + 4\gamma \\ &+ \gamma^2(2 \\ &- 2\text{Re}\{e^{-j2\pi(-d(p.m)+d(q.m)+d(p.l)-d(q.l))/\lambda}\})] \end{aligned} \quad (18)$$

که در آن  $\gamma = 10^{\text{SNR}/10}$  است که مقدار  $\text{SNR} = \frac{P_{\text{rx}}}{P_N}$  و  $P_N$  بهترتیب توان دریافتی در گیرنده و توان نویز می‌باشد که طبق ۱۹ و ۲۰ قابل محاسبه خواهد بود:

$$P_{\text{rx}}(\text{dBW}) = P_{\text{tx}}(\text{dBW}) + G \quad (19)$$

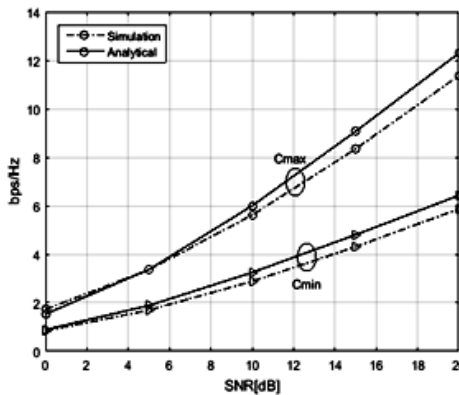
$$P_N(\text{dBW}) = 10 \log(N_0 B) = 10 \log(k T_e B) \quad (20)$$

مقدار بهینه ( $s_t s_r$ ) تعریف می‌شود که از ملاحظات طراحی خواهد بود. رابطه این ضریب با مقادیر ویژه<sup>۱۸</sup> کانال ( $\lambda_i$ ) به عنوان یک پارامتر تأثیرگذار روی شرایط کانال می‌باشد:

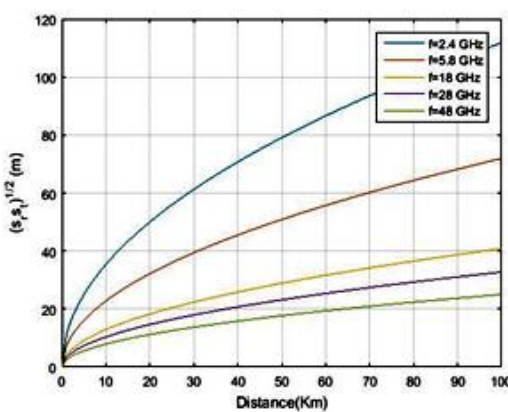
$$\eta = \frac{(s_t s_r)_{Actual}}{(s_t s_r)_{Optimal}} = \frac{(s_t s_r)_{Actual} \sin \theta \sin \alpha \sin \beta \cos \psi}{(2k+1)\lambda H_T} \quad (25)$$

رابطه ۲۵ نشان می‌دهد هرچه مقدار  $\eta$  به یک نزدیک شود مقدار واقعی  $s_t s_r$  به مقدار بهینه (محاسبات تئوری) نزدیکتر خواهد شد و برای  $\eta$  تغییرات بزرگی بر روی  $s_t s_r$  واقعی رخ خواهد داد.

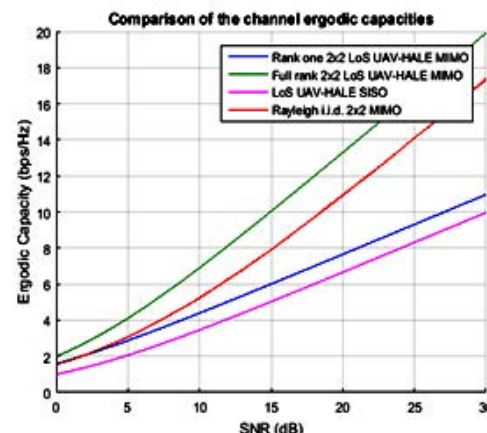
طراحی آن عملیاتی نیست. مثلاً برای پوشش برد ۵۰ کیلومتر در فرکانس ۵/۸ گیگاهرتز مقدار  $s_t s_r$  بیشتر از ۱ کیلومتر خواهد شد و با توجه به اینکه یک طرف لینک یک پهپاد HALE با حداکثر طول مثلاً ۳۰ متر ( $s_r = 30 m$ ) می‌باشد، از نظر عملی اصلاً منطقی نیست و استفاده از این تکنیک برای بردهای کوتاه و فرکانس‌های بالا مؤثر می‌باشد. لذا برای پوشش بردهای زیاد، استفاده از مخابرات مشارکتی و پهپادهای رله‌کننده در این سهاریو پیشنهاد می‌شود. ثابتاً در ۱۶ به هر دلیلی خطای در مقدار بهینه  $s_t s_r$  رخ دهد، ضریبی تحت عنوان ضریب خطای طراحی ( $\eta$ ) به صورت نسبت مقدار واقعی ( $s_t s_r$ ) به



شکل ۲. مقایسه ظرفیت پیشنهادی و کمینه در سهاریو اول



شکل ۴. حداکثر پوشش و فواصل بین آرایه آنتن‌های فرستنده به شرط تعامل زیر کانال‌ها



شکل ۳. مقایسه ظرفیت بهینه با ظرفیت کانال رایلی و تک ورودی - تک خروجی

$\lambda_{1,2} = 2 \pm [2 + 2\cos(\pi\eta^2)]^{1/2}$  (28)  
پارامتر  $CN^{19}$  نسبت بیشترین مقدار یکتای  ${}^0$  ماتریس به کمترین مقدار یکتای ماتریس، برای ماتریس کانال چندانتهی تعریف می‌شود که میزان همبستگی بین زیر کانال‌ها است. طبق تعریف هرچه مقدار CN به یک نزدیکتر باشد

مقادیر ویژه سیستم MIMO طبق رابطه  $|W - \lambda I|$  قابل محاسبه خواهد بود که در آن W به صورت زیر تعریف می‌شود:

$$W = \begin{cases} HH^H & \text{if } n_t \leq n_r \\ H^H H & \text{if } n_t > n_r \end{cases} \quad (26)$$

$$(2 - \lambda)^2 - 2 - e^{\frac{j2\pi c[d(p.m)+d(q.l)-d(p.l)-d(q.m)]}{f}} - e^{\frac{j2\pi c[-d(p.m)-d(q.l)+d(p.l)+d(q.m)]}{f}} = 0 \quad (27)$$

از حل ۲۷ و مقدارگذاری از ۱۵ مقادیر ویژه کانال به دست می‌آید:

ضریب رایسین برای این شرایط به صورت رابطه تقریبی زیر بیان می‌شود [۲۰]:

$$K_r(\text{dB}) = \begin{cases} 16.88 - 0.04R_r \text{ dB} & R_r \neq 0 \\ \infty & R_r = 0 \end{cases} \quad (۳۴)$$

طبق رابطه ۳۴ برای هوای صاف ( $R_r=0$ ) کanal دید مستقیم می‌باشد ( $H_{\text{LOS}}$ ) و برای هوای بارانی ( $R_r \neq 0$ ) کanal توزیع رایسین خواهد داشت که با افزایش ریزش باران، یک کanal رایلی فرض می‌شود در این شرایط برای محاسبه نسبت سیگنال به نویز در گیرنده داریم:

$$\frac{\text{SNR}}{\text{SNR}} = \frac{|\sqrt{G_H}|^2 E[s(t)^2]}{E[n(t) \cdot n(t)^H]} = \frac{E[|H|^2]}{N_0 I_{n_R}} \frac{G_P}{P_T} \quad (۳۵)$$

با توجه به اینکه  $h_{ij}$  گوسی و مختلط با توزیع رایلی فرض می‌شود، بنابراین توزیع  $\text{SNR}_i = \frac{P_T}{\sigma^2} |h_{ij}|^2$  نمایی خواهد بود که تابع چگالی توان آن با فرض یکسان فرض کردن SNRها از کانولوشنال تک‌تک توابع چگالی احتمال زیر کانال‌های سیستم MIMO به دست می‌آید [۲۱]:

$$f_Y(x) = \frac{x^{N-1}}{\bar{Y}^N \Gamma(N)} e^{-\frac{x}{\bar{Y}}} \quad (۳۶)$$

که در این رابطه  $\bar{Y}$  متوسط سیگنال به نویز در آین لینک،  $N = n_t \times n_r$  و  $\Gamma$  تابع گاما تعریف می‌شود با استفاده از [۱۸] روابط زیر به دست می‌آید:

$$F_Y(x) = [1 - \exp\left(-\frac{x}{\bar{Y}}\right)]^N \quad (۳۷)$$

$$f_Y(x) = \frac{N}{\bar{Y}} [1 - \exp\left(-\frac{x}{\bar{Y}}\right)]^{N-1} \exp\left(-\frac{x}{\bar{Y}}\right)$$

که به ترتیب تابع توزیع تجمعی (CDF) و تابع چگالی احتمال (PDF) سیگنال به نویز و  $N$  حاصل ضرب تعداد آتن‌های منصوب در فرستنده و گیرنده می‌باشد.

#### ۴-۱. تحلیل ظرفیت قطع در سناریوی دوم

برای محاسبه ظرفیت قطع با توجه به تعریف احتمال قطع ظرفیت داریم:

$$P_r(C < C_q^{\text{Outage}}) = q \quad (۳۸)$$

مفهوم این احتمال این است که  $q$  درصد از زمان، ظرفیت کanal کمتر و  $(1-q)$  درصد از زمان بیشتر از  $C_q^{\text{Outage}}$  خواهد بود. البته فرض می‌شود در طول زمان یک فریم از اطلاعات شرایط کanal ثابت باشد. بنابراین اگر از ۳۸ در ۲۲ قرار دهیم، داریم:

شرایط کanal سیستم MIMO مناسب (همبستگی کمتر) و برای مقادیر بیشتر از یک، شرایط کanal بدتر (همبستگی بیشتر) خواهد شد.

$$CN = \frac{\max(\sigma_i)}{\min(\sigma_i)} \quad \sigma_i = \sqrt{\lambda_i} \quad (۳۹)$$

$$CN = \sqrt{\frac{2 + [2 + 2\cos(\pi\eta^2)]^{1/2}}{2 - [2 + 2\cos(\pi\eta^2)]^{1/2}}} \quad (۳۰)$$

تغییرات  $\eta$  در مقابل تغییرات پارامتر CN در شکل ۵ شبیه‌سازی شده است. در این شکل مشخص است که به ازای  $\eta$ ‌هایی که مقدار CN برابر یک می‌شود، کanal شرایط بهینه‌ای را دارد و بر طبق ۱۵ ضرایب فردی از طول موج خواهد بود و به ازای ضرایب زوجی از طول موج، مقدار CN بعده است. مقدار CN بعده می‌کند (یکی از مقادیر ویژه یا مقادیر یکتای کanal صفر شده است) و کanal شرایط نامناسبی را تجربه می‌کند و لازم است تا تجهیزات کنترلی مقادیر پارامترهای  $\theta$ ,  $\alpha$ ,  $\beta$ ,  $\psi$  و  $\eta$  را تصحیح نمایند. ثالثاً تغییرات  $\eta$  پارامترهای پروازی پهپاد سبب تغییرات ظرفیت نیز می‌شود. در اثر مانورها و جابه‌جایی ناشی از شرایط جوی مانند وزش باد (مخصوصاً در لایه استراتوسفر) و تغییر پارامترهای  $\theta$ ,  $\alpha$ ,  $\beta$ ,  $\psi$  و  $\eta$  ظرفیت کanal نیز دستخوش تغییر خواهد شد. این موضوع در شکل‌های ۶ و ۷ و ۷/۲۶ شبیه‌سازی شده است. شکل ۶ تغییرات ظرفیت، از مقدار حداقل ۷/۲۶ bps/Hz تا حداقل ۱۳/۲۳ bps/Hz را نسبت به خطای ایجادشده ( $\eta$ ) را نشان می‌دهد. شکل ۷ تغییرات ظرفیت در برای تغییر زاویه  $\alpha$  و شکل ۸ این تغییر را نسبت به تغییرات زوایای  $\beta$  و  $\psi$  نشان می‌دهد.

#### ۴. سناریوی دوم - کanal دید غیرمستقیم

اولین بارش باران در ارتفاع ۲/۵-۵ کیلومتر بالای اتمسفر شکل می‌گیرد بنابراین امواج الکترومغناطیس در لایه استراتوسفر مستقیماً تحت تأثیر بارش باران قرار می‌گیرند. افت ناشی از باران توسط یک رابطه تحریبی به صورت زیر بیان می‌شود [۱۹]:

$$\gamma_r(\frac{\text{dB}}{\text{km}}) = a_r R_r^{b_r} \quad (۳۱)$$

به طوری که  $R_r$  میزان بارش بر حسب میلی‌متر بر ساعت (mm/h) می‌باشد که به موقعیت جغرافیایی منطقه و  $a_r$  و  $b_r$  ضرایب هستند که به پلاریزاسیون، فرکانس و منطقه آبوهولایی بستگی دارد. افت کلی باران برابر است با:

$$L_r = \gamma_r d_r \quad (۳۲)$$

که در آن  $d_r$  طول مسیر باران می‌باشد که به هندسه مسئله بستگی خواهد داشت (شکل ۱).

$$d_r = |H_r - H_R| / \sin\theta \quad (۳۳)$$

یکسان فرض کردن SNR ها از کانولوشنال تکنک توابع چگالی احتمال زیرکانال‌های سیستم MIMO به دست می‌آید [۲۱].

$$P_{\text{Outage}} = P(\gamma < \gamma_{\text{th}}) = F_{\gamma_{\text{th}}}(\gamma) = [1 - \exp\left(-\frac{\gamma}{\gamma_{\text{th}}}\right)]^N \quad (۴۳)$$

احتمال قطع مطابق ۴۳ تابعی از  $\gamma_{\text{th}} = n_T \times n_R$  و  $N = n_t \times n_r$  می‌باشد. شکل ۱۱ احتمال قطع SNR را برای حالات مختلف نشان می‌دهد.

**۴-۳. تحلیل متوسط نرخ خطای سمبول در سناریوی دوم**  
معمولًاً دو روش برای محاسبه ASER وجود دارد روش اول استفاده از نسبت سیگنال به نویز و روش دوم استفاده از تابع مولد ممان (MGF<sup>۲۰</sup>) که در این مقاله از روش دوم استفاده می‌شود طبق تعریف،

MGF برابر خواهد بود با [۲۲]:

$$M_\gamma(z) = \int_0^\infty e^{-z\gamma} f_\gamma(\gamma) d\gamma \quad (۴۴)$$

که  $f_\gamma(\gamma)$  تابع چگالی احتمال تعریف می‌شود که در ۳۶ محاسبه شد. جایگذاری ۳۶ در ۴۳ داریم:

$$M_\gamma(z) = \int_0^\infty e^{-z\gamma} \frac{N}{\bar{\gamma}} [1 - \exp\left(-\frac{\gamma}{\bar{\gamma}}\right)]^{N-1} \exp\left(-\frac{\gamma}{\bar{\gamma}}\right) d\gamma \quad (۴۵)$$

فرم بسته انتگرال فوق با استفاده از [۱۸] به صورت ۴۶ است:

$$M_\gamma(z) = \frac{N}{\bar{\gamma}} \sum_{k=0}^{N-1} \frac{(-1)^k \binom{N-1}{k}}{z + \frac{k+1}{\bar{\gamma}}} \quad (۴۶)$$

با محاسبه MGF می‌توان متوسط احتمال خطای را برای مدولاسیون‌های مختلف بدست آورد که در این مقاله برای مدولاسیون‌های فاز (MPSK) به صورت ۴۷ تعریف می‌شود [۲۲] که در آن  $\varphi = (M-1)\pi/M$  و  $M$  مرتبه مدولاسیون می‌باشد؛ بنابراین با استفاده از رابطه ۴۶ داریم:

$$\bar{P}_e = \frac{1}{\pi} \int_0^\varphi M_\gamma\left(\frac{g_{\text{MPSK}}}{\sin^2(\theta)}\right) d\theta \quad (۴۷)$$

برای انتگرال ۴۸ می‌توان فرم بسته‌ای بدست آورد که در نهایت متوسط احتمال خطای سمبول برابر خواهد شد با:

$$\bar{P}_e = N \sum_{k=0}^{N-1} (-1)^k \binom{N-1}{k} \frac{1}{1+k} \frac{M-1}{M} \left\{ 1 - \sqrt{\frac{\beta}{1+\beta}} \frac{M}{(M-1)\pi} \left[ \frac{\pi}{2} + \tan^{-1} \left( \sqrt{\frac{\beta}{1+\beta}} \cos \frac{\pi}{M} \right) \right] \right\} \quad (۴۸)$$

$$\beta = \frac{\bar{\gamma} g_{\text{MPSK}}}{1+k}$$

$$\begin{aligned} \Pr(2\log_2(1+2\gamma) < C_q^{\text{Outage}}) \\ &= q \\ &\Rightarrow \Pr\left(\gamma < \frac{2^{C_q^{\text{Outage}}/2} - 1}{2}\right) \\ &= q \end{aligned} \quad (۴۹)$$

سیگنال به نویز طبق ۳۷ این احتمال با توجه به اینکه

$$\begin{aligned} \Pr\left(\gamma < \frac{2^{C_q^{\text{Outage}}/2} - 1}{2}\right) \\ &= \int_0^{\frac{2^{C_q^{\text{Outage}}/2} - 1}{2}} \frac{N}{\bar{\gamma}} \left[ 1 - \exp\left(-\frac{x}{\bar{\gamma}}\right) \right]^{N-1} \exp\left(-\frac{x}{\bar{\gamma}}\right) dx \\ &= q \end{aligned} \quad (۴۰)$$

و در نهایت ظرفیت قطع از حل انتگرال ۴۰ بدست خواهد آمد:

$$C_q^{\text{Outage}} = 2 \left( \log_2 2\bar{\gamma} \ln \frac{1}{1 - q^{\frac{1}{N}}} + 1 \right) \quad (۴۱)$$

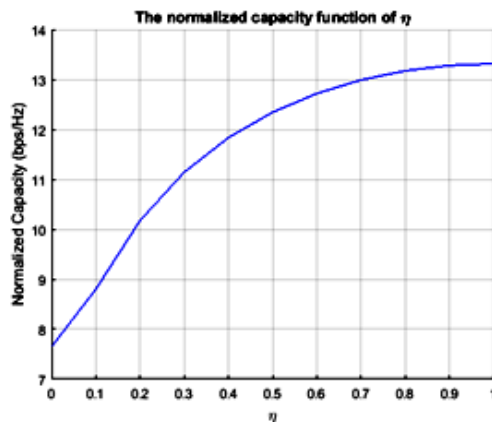
ظرفیت قطع محاسبه شده در شکل ۹ رسم شده است و برای صحنه‌گذاری محاسبات با نتیجه شیوه‌سازی مطابقت داده شده است. از ۳۶،  $P_r(C > C_q^{\text{Outage}})$  یا CCDF شاخص مناسبی برای نشان دادن وضعیت ظرفیت کانال در شرایط مختلف جوی (باران) می‌باشد:

$$\begin{aligned} P_r(C > C_q^{\text{Outage}}) &= 1 - P_r(C < C_q^{\text{Outage}}) \\ &= 1 - [1 - \exp\left(-\frac{2^{C_q^{\text{Outage}}/2} - 1}{2\bar{\gamma}}\right)]^N \end{aligned} \quad (۴۲)$$

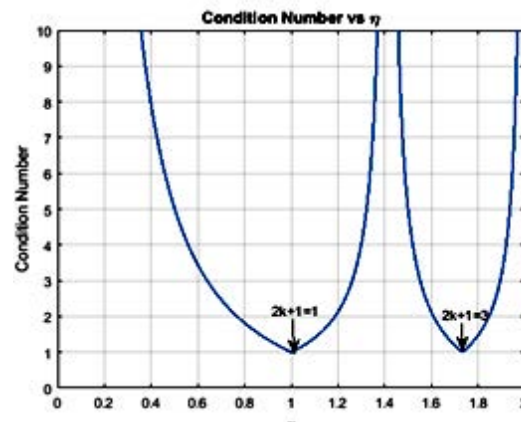
با استفاده از رابطه بدست آمده برای  $P_r(Capacity > R)$  و برای مقادیر مشخص  $P_r$ ,  $G_r$ ,  $G_t$  و  $\varphi$ ، تابع توزیع مکمل تجمعی (CCDF) ظرفیت یعنی احتمال اینکه ظرفیت کانال از ظرفیت قطع بیشتر شود برای نرخ‌های مختلف ریزش باران ( $L_r$  متفاوت) در شکل ۱۰ شیوه‌سازی شده است.

#### ۴-۲. تحلیل احتمال قطع SNR در سناریوی دوم

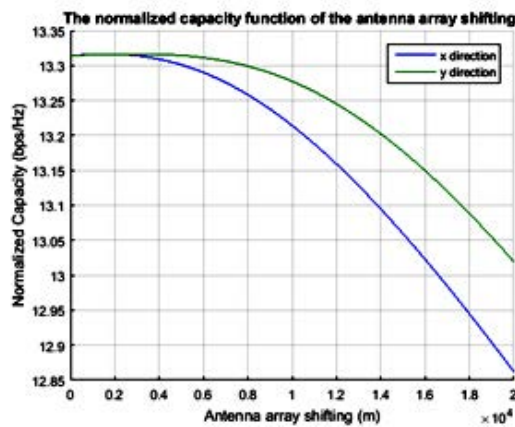
احتمال قطع، یک کمیت آماری مهم برای ارزیابی کیفیت سرویس ارائه شده در شبکه‌های ارتباطی بی‌سیم می‌باشد و از منظر ریاضی به صورت احتمال اینکه نسبت سیگنال به نویز آنها به انتهای (SNRe-e) از یک سطح آستانه مشخص کمتر باشد، تعریف می‌شود که همان تعريف CDF می‌باشد [۲۲]. برای محاسبه CDF سیگنال به نویز لازم است ابتدا PDF این متغیر برای سناریوی دوم محاسبه شود لذا با توجه به اینکه  $h_{ij}$  گوسی و مختلط با توزیع رایلی فرض شده، بنابراین توزیع  $SNR = \frac{P_T}{\sigma^2} |h_{ij}|^2$  نمایی خواهد بود که تابع چگالی توام آن با فرض



شکل ۶. تغیرات ظرفیت نسبت به ضریب خطای  $\eta$

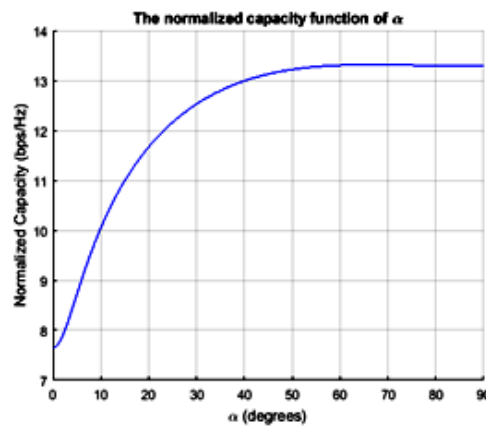


شکل ۵. تغیرات  $\eta$  در مقابل CN ماتریس کاتال

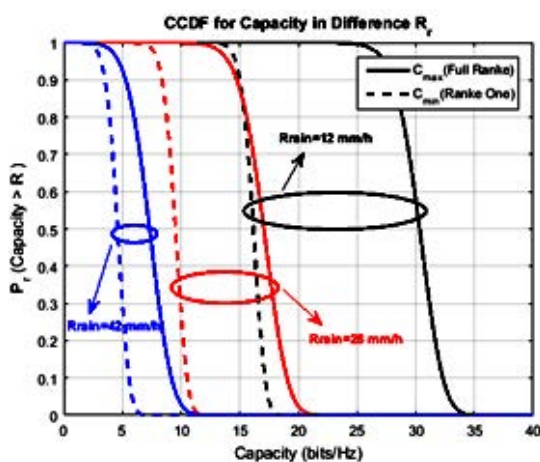


شکل ۸. تغیرات ظرفیت نسبت به جابه‌جایی آرایه آنتن‌ها

در راستای محور X و Y (تغیرات زوایای  $\Psi$  و  $\beta$ )

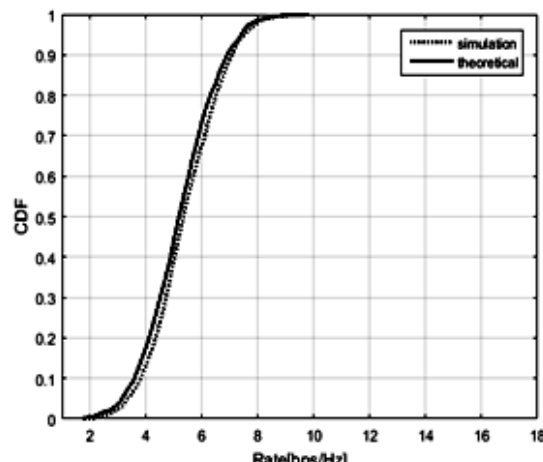


شکل ۷. تغیرات ظرفیت نسبت به زاویه  $\alpha$

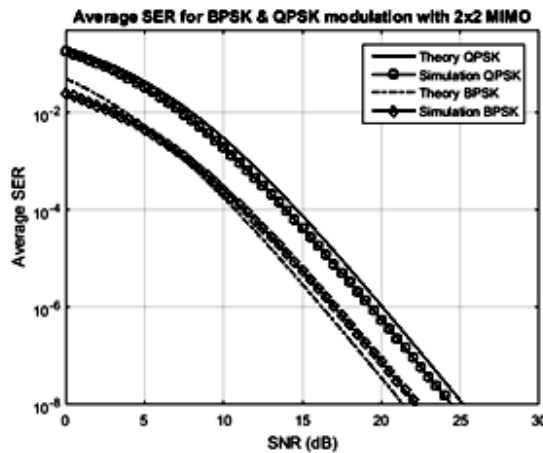


شکل ۱۰.تابع توزیع مکمل تجمعی ظرفیت پیشینه و کمینه

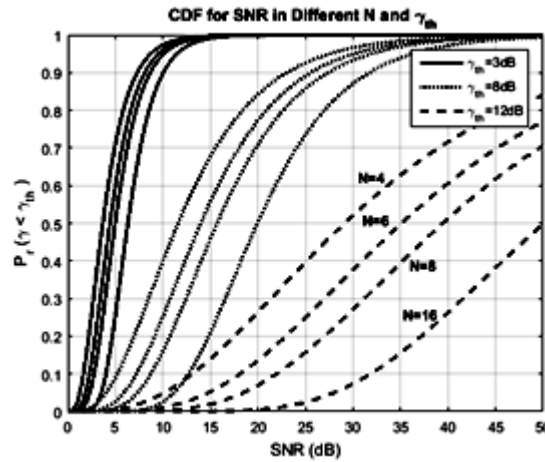
$R_r=12\text{mm}/\text{h}$  و  $R_r=28\text{mm}/\text{h}$  و  $R_r=42\text{mm}/\text{h}$



شکل ۹. ظرفیت قطع شیوه‌سازی و تئوری



شکل ۱۲. متوسط احتمال خطای سمبول برای مدولاسیون‌های QPSK و BPSK



شکل ۱۱. تغییرات احتمال قطع SNR به ازای  $\gamma_{th}$  و N=n<sub>t</sub>×n<sub>r</sub>

پایش ضریب خطای  $n$  و تغییرات جهت‌گیری‌های زوایای آنتن‌ها فرستنده و گیرنده بود. لذا پیشنهاد می‌شود برای افزایش برد از مخابرات مشارکتی<sup>۲۱</sup> (رله) استفاده شود و ضریب خطا و همچنین زوایای آنتن‌ها، متوسط تجهیزات پردازشی و محاسباتی منصوب روی پهپاد کنترل شود. در ادامه برای سناریوی دوم شرایط جوی؛ یعنی ریزش باران را شرکت داده و با انتخاب کانال فیدینگ رایلی، ظرفیت قطع، احتمال خطای سمبول را محاسبه و شبیه‌سازی کردیم که نتیجه آن احتمال خطای کانال را محاسبه و شبیه‌سازی کردیم که نتیجه آن تخمین میزان کیفیت کانال در این شرایط بر اساس معیارهای بهدست آمده بود. مثلاً نتایج شبیه‌سازی‌ها نشان داد که با افزایش نرخ ریزش باران و کاهش متوسط SNR و در نهایت کاهش ضریب رایسین کانال (Kr) اثر کانال دیدغیرمستقیم ( $H_{NLOS}$ ) بیشتر شده که سبب کاهش ظرفیت کانال دیدمستقیم ( $H_{LOS}$ ) خواهد شد و در نتیجه با احتمال ۵۰ درصد ظرفیت کانال در حالت مرتبه کامل بیشتر از ۱۹٪ و ۳۰٪ (b/s/Hz) و بیشتر از ۵٪ و ۱۰٪ (b/s/Hz) در حالت مرتبه یک کانال خواهد بود. همچنینتابع احتمال خطای SER (برای مدولاسیون‌های QPSK و BPSK) برای حالات تئوری و شبیه‌سازی در سناریوی دوم پهپاد HALE بهدست آمد که نتایج صحت تحلیل‌های ریاضی انجام‌شده را نشان می‌دهد.

شکل ۱۲ متوسط نرخ خطای سمبول برای دو مدولاسیون BPSK و QPSK را نشان می‌دهد ملاحظه می‌شود در حالت بارش باران برای QPSK متوسط احتمال خطای ASER=10<sup>-6</sup> برای مدولاسیون BPSK نسبت به مدولاسیون BPSK به حدود 4dB سیگنال به نویز بیشتری در گیرنده نیاز خواهیم داشت. در این شکل نتایج تحلیلی با نتایج شبیه‌سازی جهت صحه‌گذاری بر تحلیل‌های تئوری مقایسه شده است.

## ۵. نتیجه‌گیری

در این مقاله عملکرد کانال ارتباطی بین ایستگاه زمینی و یک پهپاد ارتفاع بلند چندآنتنی، با در نظر گرفتن شرایط جوی (باران) تحلیل و بررسی شد. در این رهگذر دو سناریوی مختلف؛ یعنی هوای صاف (کانال دید مستقیم) و هوای بارانی (کانال دید غیرمستقیم)، مورد بررسی قرار گرفت. در سناریوی اول پارامترهای بروازی که روی تعادم زیرکانال‌ها اثرگذار بودند استخراج و رابطه آنها برای بیشترین و کمترین ظرفیت کانال محاسبه و نشان داده شد که ظرفیت محاسبه شده بیشینه و بهینه می‌باشد؛ زیرا از سایر ظرفیت‌های حالات کانال (رایلی و تک ورودی-تک خروجی) بیشتر می‌باشد. الزامات طراحی که در این سناریو باید در نظر گرفت، محدودیت برد مخصوصاً در فرکانس‌های پایین،

## ۶. مأخذ

- [1] A. Aragón Zavala , J. L. Cuevas Ruiz , J. A. Delgado Penín, *High Altitude Platforms for Wireless Communications*, New York, USA: John Wiley & Sons, Dec.2008.
- [2] A. K. Widiawan , R. Tafazolli, High Altitude Platform Station (HAPS): A Review of New

Infrastructure Development for Future Wireless Communications, *Wireless Personal Communications*, vol. 42, no. 3, pp. 387-404, Aug 2007.

- [3] David Grace, Mihael Mohorčič, *Broadband Communications via High Altitude Platforms*, John Wiley & Sons Ltd.2011.
- [4] L. Jamison, G. S. Sommer, I. R. Porche, High Altitude Airships for the Future Force Army, *Technical Report 234*, RAND Arroyo Center, Jan. 2005.
- [5] Ioannis Sarris, Andrew R. Nix, Design and Performance Assessment of High-Capacity MIMO Architectures in the Presence of a Line-of-Sight Component, *IEEE Transaction on Vehicular Technology*, Vol. 56, No. 4, July 2007
- [6] Emmanouel T. Michailidis, Athanasios G. Kanatas, Capacity Optimized Line-of-Sight HAP-MIMO Channels for Fixed Wireless, IWSSC 2009, International Workshop on Satellite and Space Communications.
- [7] H. Aamir, U. I. Qamar, MIMO channel modeling for integrated high altitude platforms, geostationary satellite/land mobile satellite and wireless terrestrial networks, *J. Space Technol.*, vol. 3, 2013, pp. 19–26.
- [8] E. Falletti, F. Sellone, C. Spillard, D. Grace, transmit and receive multi-antenna channel model and simulator for communications from high altitude platforms, *Int. J. Wirel. Inf. Netw.*, vol. 13, 2006, pp. 59–75.
- [9] T. Hult, A. Mohammed, Compact MIMO Antennas and HAP Diversity for Enhanced Data Rate Communications , In Proceedings of the IEEE 65<sup>th</sup> Vehicular Technology Conference, Dublin,Ireland, 22–25 April 2007, pp. 1385-1389.
- [10] T. Hult, A. Mohammed, Z. Yang, D. Grace, Performance of a multiple HAP system employing multiple polarization, *Wirel. Pers. Commun.* Vol. 52, 2010, pp. 105–117.
- [11] Feihong Dong, Min Li, Xiangwu Gong, Hongjun Li, Fengyue Gao, Diversity Performance Analysis on Multiple HAP Networks, *Sensors-Open Access Journal*, 2015
- [12] J. L. Cuevas-Ruiz , J. A. Delgado-Penín, Channel model based on semi-Markovian processes, an approach for HAPS systems, in Proc. XIV InternationalConference on Electronics, Communications, and Computers, 2004,
- [13] S. Iskandar, Shimamoto, Channel haracterization and performance evaluation of mobile communication employing stratospheric platforms, *IEICE Transactions on Communications*, vol. E89-B, no. 3, pp. 937-944, Mar. 2006.
- [14] F. Dovis, R. Fantini, M. Mondin, P. Savi, “Small-scale fading for high-altitude platform (HAP) propagation channels, *IEEE Journal on Selected Areas in Communications*, vol. 20, no. 3, pp. 641-647, Apr. 2002.
- [15] E. T. Michailidis, A. G. Kanatas, Three-Dimensional HAP-MIMO Channels: Modeling and Analysis of Space-Time Correlation, *IEEE Transactions on Vehicular Technology*, vol. 59, no. 5, pp. 2232-2242, Jun. 2010.
- [16] A. G. Zajić, G. L. Stüber,Three-dimensional modeling, simulation, and capacity analysis of space-time correlated mobile-to-mobile channels, *IEEE Transactions on Vehicular Technology*, vol. 57, no. 4, pp. 2042-2054, Jul. 2008.
- [17] A. Paulraj, R. Nabar, D. Gore, *Introduction to Space-Time Wireless Communications*, Cambridge, UK: Cambridge University Press, 2003.
- [18] I. S. Gradshteyn, I. M. Ryzhik, Table of Integrals, Series and Products, 6<sup>th</sup> ed. San Diego: CA, Academic Press, 2000.
- [19] Specific attenuation model for rain for use in prediction methods, International Telecommunication Union, Geneva, Switzerland, ITU-R P.838-1, 1997.
- [20] H. Xu, T. S. Rappaport, R. J. Boyle, J. H. Schaffner, Measurements and models for 38-GHz point-to-multipoint radiowave propagation, *IEEE Journal on Selected Areas in Communications*, vol. 18, pp. 310-321, Apr. 2000.
- [21] J. G. Proakis, M. Salehi, *Digital Communications*, 5<sup>th</sup> ed., McGraw Hill Higher Education, 2008.
- [22] M. K. Simon, M. Alouini, *Digital Communication over Fading Channels*, 2<sup>nd</sup> ed., Wiley-IEEE Press, Nov. 2004.

- 
- 1. MIMO-HALE
  - 2. near space
  - 3. Cloud Computing and Storage
  - 4. large scale distributed networks
  - 5. internet of things
  - 6. 5G
  - 7. wireless sensor networks
  - 8. high altitude long endurance
  - 9. high altitude platform
  - 10. multi input-multi output
  - 11. rich scattering
  - 12. indoor
  - 13. virtual-MIMO
  - 14. symbol error rate
  - 15. single input-single output
  - 16. full rank
  - 17. ranko
  - 18. eigen value
  - 19. condition number
  - 20. singular value
  - 21. cooperative communication